

광섬유라만증폭기의 이득과 잡음 스펙트럼 디자인 알고리즘

Gain and NF Spectrum Control Algorithm for FRA

박재형⁽¹⁾, 박종한⁽¹⁾, 김필한⁽²⁾, 박남규⁽¹⁾

서울대학교 전기컴퓨터공학부 광통신시스템연구실⁽¹⁾, Harvard Medical School⁽²⁾

jhpark@stargate.snu.ac.kr

다채널 광전송 시스템에서, 페널티는 보통 가장 성능이 나쁜 채널에 의해 결정된다. 이런 측면에서 증폭기의 디자인에 있어서 이득에서의 평탄화 뿐이 아니라 잡음지수에서의 평탄화도 중요하게 고려되어야 할 요소이다. 라만광섬유증폭기(FRA)의 경우에, 광섬유 손실과 신호-펌프 간의 상호작용에 의해서 최단파장의 신호가 가장 나쁜 잡음 특성을 가진다. 이를 해결하기 위해서, 양방향 펌핑^(1,2), 고차 펌핑, 시분할 펌핑 방법들^(3,4)과 사후이득경사 보정을 통한 보상 방법 등에 대한 연구들이 있어왔다.

이 논문에서는, 이득과 잡음 지수 두 가지 모두에 대한 디자인을 동시에 할 수 있는 정확하고 효율적인 방법을 제시하였다. 목표 이득 파형에 대해 우선 FRA를 디자인하고, NF 오차함수를 얻어내서 이를 되먹임으로써 라만광섬유증폭기의 이득과 잡음지수에 있어서 0.1dB이하의 정확도 내에서 수십 초 이내에 양방향 펌프의 값을 찾아내는 디자인 결과를 얻을 수 있었다.

일반적으로 두 개의 부분으로 나누어 생각할 수 있는 긴 길이의 분산형 양방향 펌핑 FRA에 대해서 생각해 보면, 두 연속된 전, 후방 펌핑 증폭기의 잡음 지수와 이득을 가지고, 전체 증폭기의 손실이 포함된 잡음지수를 나타낼 수 있고, 다음 식과 같이 표현된다.

$$\overrightarrow{NF}_{total} = \overrightarrow{NF}_{for} + \frac{\overrightarrow{NF}_{back} - 1}{\overrightarrow{G}_{for}} = \overrightarrow{NF}_{for} + \frac{\overrightarrow{NF}_{back} - 1}{\overrightarrow{G}_{total}} \cdot \overrightarrow{G}_{back} \quad (1)$$

여기서 \overrightarrow{NF} 와 \overrightarrow{G} 는 잡음지수와 이득 벡터이다. 우선, 미리 정해놓은 목표 이득 값 $\overrightarrow{G}_{total}$ 에 대해 잡음지수 $\overrightarrow{NF}_{total}$ 을 구하기 위해 순방향/역방향 잡음지수($\overrightarrow{NF}_{for}$, $\overrightarrow{NF}_{back}$)와 역방향 이득($\overrightarrow{G}_{back}$)이 필요하다. 또한, $\overrightarrow{G}_{total}$ 이 고정되어 있을 때, $\overrightarrow{NF}_{total}$ 의 변화는 거의 $\overrightarrow{G}_{back}$ 에 의해 결정된다는 사실이 중요하다 : $\overrightarrow{NF}_{for}$ 와 $\overrightarrow{NF}_{back}$ 의 변화는 무시할만하다.

식 (1)을 주어진 목표 이득과 잡음 스펙트럼 ($\overrightarrow{G}_{total,dB}^{target}$, $\overrightarrow{NF}_{total}^{target}$)에 대해 얻어진 목표 후방 이득 $\overrightarrow{G}_{back,dB}^{target}$ 에 대해 표현하고, 이 $\overrightarrow{G}_{back,dB}^{target}$ 을 결정하기 위해서, 이 시점에서는 미지수인 $\overrightarrow{NF}_{for}^{target}$ 와 $\overrightarrow{NF}_{back}^{target}$ 을 미리 정해놓은 증폭기에서의 이득과 잡음 지수를 이용해서 식을 변형한다. 그 후에 이로부터 목표 잡음지수 스펙트럼 $\overrightarrow{NF}_{total}^{target}$ 와 목표 이득 $\overrightarrow{G}_{total,dB}^{target}$ 을 만족시키기 위한 후방이득을 얻기 위한 피드백 파라미터로서 다음 식을 얻을 수 있다.

$$\Delta \overrightarrow{G}_{back,dB}^{(k)} = \overrightarrow{G}_{back,dB}^{target} - \overrightarrow{G}_{back,dB}^{(k)} \cong 10 \cdot \log_{10} \left(\frac{\overrightarrow{NF}_{total}^{target} - \overrightarrow{NF}_{for}^{(k)}}{\overrightarrow{NF}_{total}^{(k)} - \overrightarrow{NF}_{for}^{(k)}} \right) \quad (2)$$

여기서 $\overrightarrow{NF}_{total}^{target}$ 와 $\overrightarrow{NF}_{total}^{(k)}$ 사이에 펌프 재구성과정에서 오프셋이 생길 수 있기 때문에, 실제 구현에 있어서 목표 잡음 파형은 $\overrightarrow{NF}_{total}^{target} = avg(\overrightarrow{NF}_{total}^{(k)}) + tilt(\overrightarrow{NF}_{total}^{target})$ 와 같은 식을 사용해서 오프셋을 제거해 주었다. 게다가, $\overrightarrow{NF}_{for/back}^{target}$ 를 $\overrightarrow{NF}_{for/back}^{(k)}$ 로 근사화 하였으므로, 식(2)에서 만족할만한 수렴도를 보이는 최종 디자인 결과를 얻기 위해 반복계산 방법을 사용하였다.

위 이론의 실제 구현을 위해서, 기존에 발표한 이득 디자인 논문의 결과⁽⁵⁾에서 식을 변형을 하였다.

$$\overrightarrow{G}_{total,dB} = \widetilde{T}_{P_back} \cdot \overrightarrow{P}_{P_back} + \widetilde{T}_{P_for} \cdot \overrightarrow{P}_{P_for} + \widetilde{T}_S \cdot \overrightarrow{P}_S \quad (3)$$

$\overrightarrow{G}_{total,dB}$ 는 이득 파형 벡터, $\overrightarrow{P}_{P_back}$, $\overrightarrow{P}_{P_for}$, \overrightarrow{P}_S 는 $M \times 1$ 순방향, $M \times 1$ 역방향, $N \times 1$ 신호 파워 벡터이다.

디자인 프로세스는 다음과 같다.

Step 0 : 라만 이득 $\vec{G}_{total_dB}^{target}$ 를 정하고, 후방 펌프 라만증폭기의 이득 $\vec{G}_{P_back_dB}^{(0)}$ 를 결정한다. (예; $\vec{G}_{P_back_dB}^{(0)} = r \vec{G}_{total_dB}^{target}$ (r : 후방이득/전체이득의 비)

Step I : $\vec{P}_{P_for} = 0$ 일 때, \vec{P}_{P_back} 에 대해 식(3)을 풀면, $\vec{P}_{P_back}^{(n)} = (\tilde{T}_{P_back})^{-1} \cdot (\vec{G}_{P_back_dB}^{(n)} - \tilde{T}_S \cdot \vec{P}_S)$, for $\vec{P}_{P_for} = \vec{0}$ (4)

여기서 목표 후방이득 $\vec{G}_{P_back_dB}^{(0)}$ 를 만족하는 후방 펌프 파워 $\vec{P}_{P_back}^{(0)}$ 를 얻을 수 있고, 이 후방펌프와 식(3)을 가지고, $\vec{P}_{P_for}^{(0)}$ 를 얻을 수 있다. $\vec{P}_{P_for}^{(0)} = (\tilde{T}_{P_for})^{-1} \cdot (\vec{G}_{total_dB}^{target} - \tilde{T}_{P_back} \cdot \vec{P}_{P_back}^{(n)} - \tilde{T}_S \cdot \vec{P}_S)$ (5)

결국, 최종 전체 목표 이득 과형 $\vec{G}_{total_dB}^{target}$ 를 만족하는 순방향 펌프파워 $\vec{P}_{P_for}^{(0)}$ 를 얻을 수 있다.

Step II : 얻어진 $\vec{P}_{P_for}^{(0)}$, $\vec{P}_{P_back}^{(0)}$ 와 신호 진행 파워 분포들을 이용해서, 라만증폭기의 잡음 값을 계산할 수 있다. 식(2)에서 $\Delta\vec{G}_{back_dB}^{(0)}$ 를 가지고, 후방라만이득 $\vec{G}_{P_back_dB}^{(1)}$ 를 얻을 수 있다.

Step III : $\Delta\vec{G}_{back_dB}^{(n)}$ 가 만족할 만한 값으로 수렴할 때 까지 steps I, II를 반복한다.

알고리즘의 검증을 위해서 분산천이광섬유(DSF, 100km, 22dB 온/오프 이득)에 대한 수치해석적 분석을 수행하였다. 81개의 신호(-5dBm/ch, 1530~1594nm, 100GHz 간격)와 5nm 등간격의 펌프(1420~1495nm)를 사용하였다. 그림.1은 다양한 목표 잡음 모양들 (2dB +/-경사, 볼록/오목 잡음 과형)에 대한 초기 디자인 조건($r = \vec{G}_{back_dB}^{target} / \vec{G}_{total_dB}^{target} = 0.6$, 선)과 디자인 최종 단계(5번 반복 후)의 결과가 나타나 있다. 잡음과 이득 모두에 대해 0.1dB 이하의 정확도에서 잘 디자인 된 결과를 확인 할 수 있고, 이 결과는 2GHz 컴퓨터로 수십초 이내에 디자인 되었다.

또한 제안된 알고리즘의 펌프-고갈 영역에서의 적용가능성을 확인하기 위해, 이산라만증폭기에 대해 적용해 보았다. 그림.2에서 10km의 분산보상광섬유(10km, 10dB이득, 온/오프 이득=16dB, -6dBm/ch)에 대한 디자인 결과를 볼 수 있다. 약간의 반복횟수의 증가만으로 이득과 잡음지수에서 0.05dB/0.01dB의 우수한 정확도를 가지는 디자인 결과를 확인할 수 있었다.

본 논문에서 FRA의 이득과 잡음지수를 독립적으로 디자인할 수 있는 효율적이고 빠른 디자인 방법을 제안하였다. 라만 광전송 선로에서 라만광증폭기의 최적화 디자인을 하는 데에 도움을 줄 수 있는 다양한 이득과 잡음지수 과형들에 대한 성공적인 디자인 결과를 보였다.

참고문헌

- Y. Emori et al., "Broadband flat-gain and low-noise Raman amplifiers pumped by wavelength-multiplexed high-power laser diodes," Optical Fiber Technology, v.8, n.2, (2002)
- X. Liu et al., "Optimizing gain profile and noise performance for distributed fiber Raman amplifiers," Optics Express, v.12, n.24, (2004)
- Y. Hadjar et al., "Noise Figure Tilt Reduction in Ultrawide-Band WDM Through Second-Order Raman Amplification," IEEE Photon. Technol. Lett., v.16, n.4, (2004)
- C.R.S. Fludger et al., "Ultra-broadband high performance distributed Raman amplifier employing pump modulation," Optical Fiber Communications Tech. Dig. Paper WB4, (2002)
- Jaehyoung Park et al., "Closed integral form expansion of Raman equation for efficient gain optimization process," IEEE Photon. Technol. Lett., v.16, n.5, pp.1283-1285, (2004)

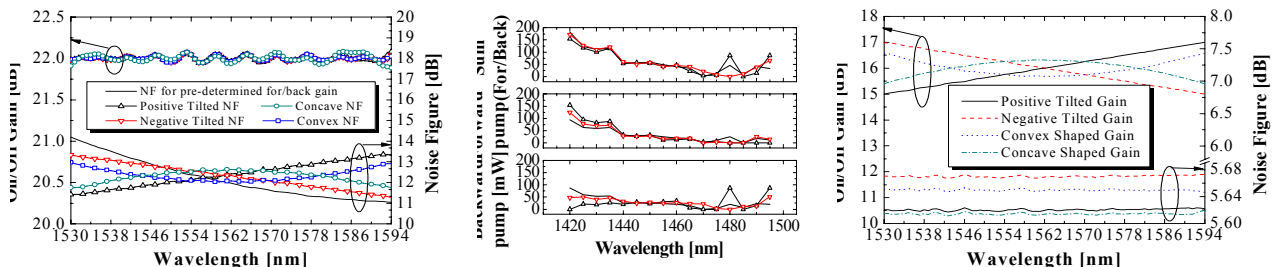


그림 1. 평탄이득에서 다양한 잡음지수 디자인과 펌프 파워(+/- tilt: \triangle/∇) (100km DSF, $P_S = -5$ dBm, 22dB on/off gain, $r = 0.6$)

그림 2. 평탄잡음지수 하에서의 다양한 모양의 라만 이득 디자인 결과